

# Reescrita e verificação de circuitos digitais representados sob a forma de Grafos de ANDs e Inversores

Marcos Henrique Backes, André Inácio Reis

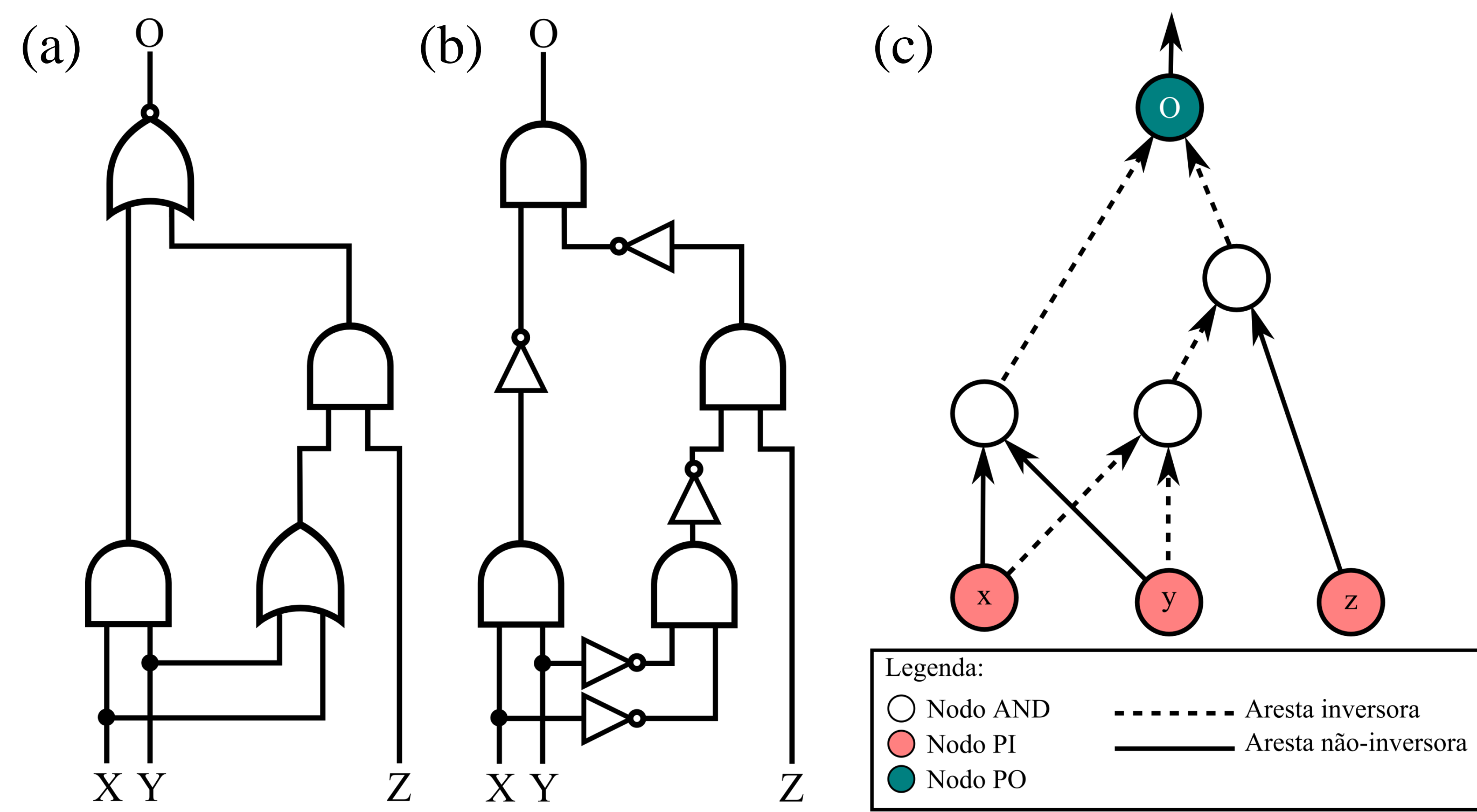
UFRGS, Porto Alegre, Brasil  
{mhbackes, andreis}@inf.ufrgs.br

**OBJETIVO** O objetivo desse trabalho é apresentar um método de reescrita de AIGs baseado nas funções XOR e XNOR e investigar a eficiência de usar BDD e SAT para checar a equivalência dos AIGs produzidos.

## Reescrita de AIGs através das funções XOR/XNOR

### GRAFO DE ANDS E INVERSORES

Um Grafo de ANDs e Inversores (AIG) é um grafo dirigido e acíclico composto de nodos AND de duas entradas (AND2), nodos de entrada (PI) e de saída (PO), conectados por arestas diretas e negadas [1]. Um possível AIG para a função  $O = \overline{(xy + (x + y)z)}$  é mostrado na Figura 1. AIGs não são estruturas canônicas, ou seja, a mesma função pode ser representada por vários AIGs diferentes. A Figura 2 mostra um exemplo disso.



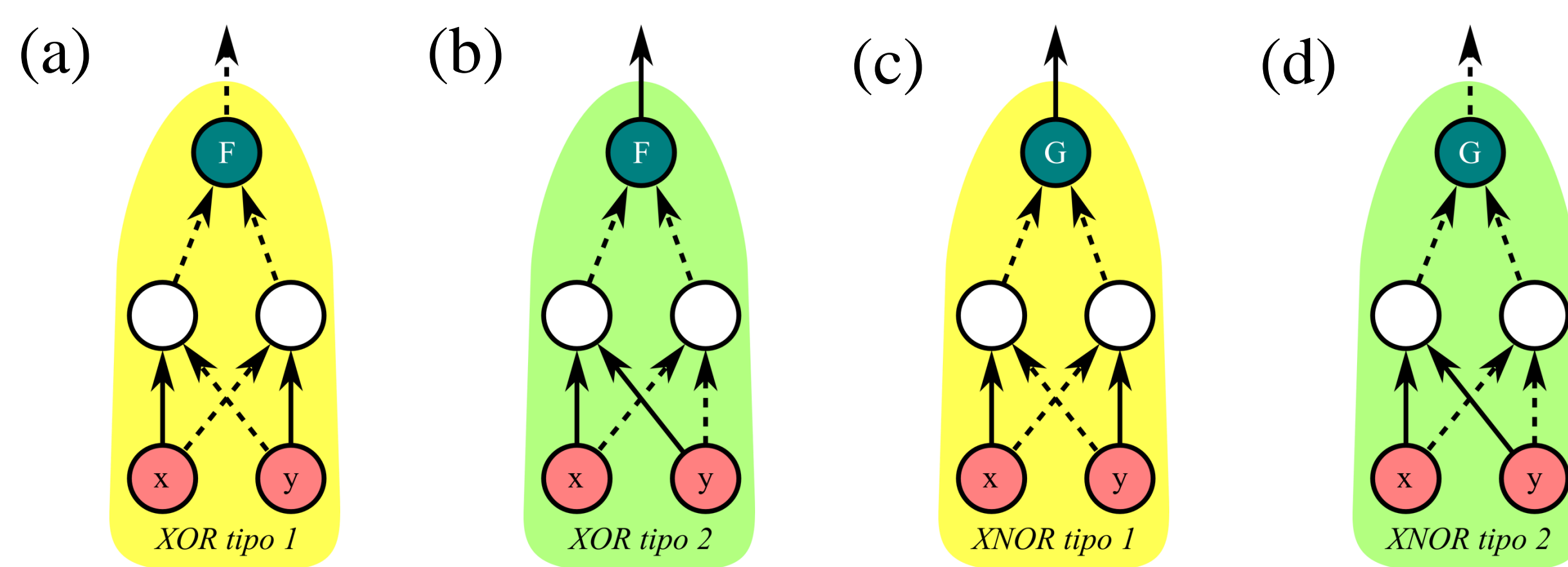
**Figura 1:** Um circuito combinacional (a), sua representação com portas AND2 e inversores (b), e uma representação de AIG (c).

### AIG E FUNÇÕES XOR/XNOR

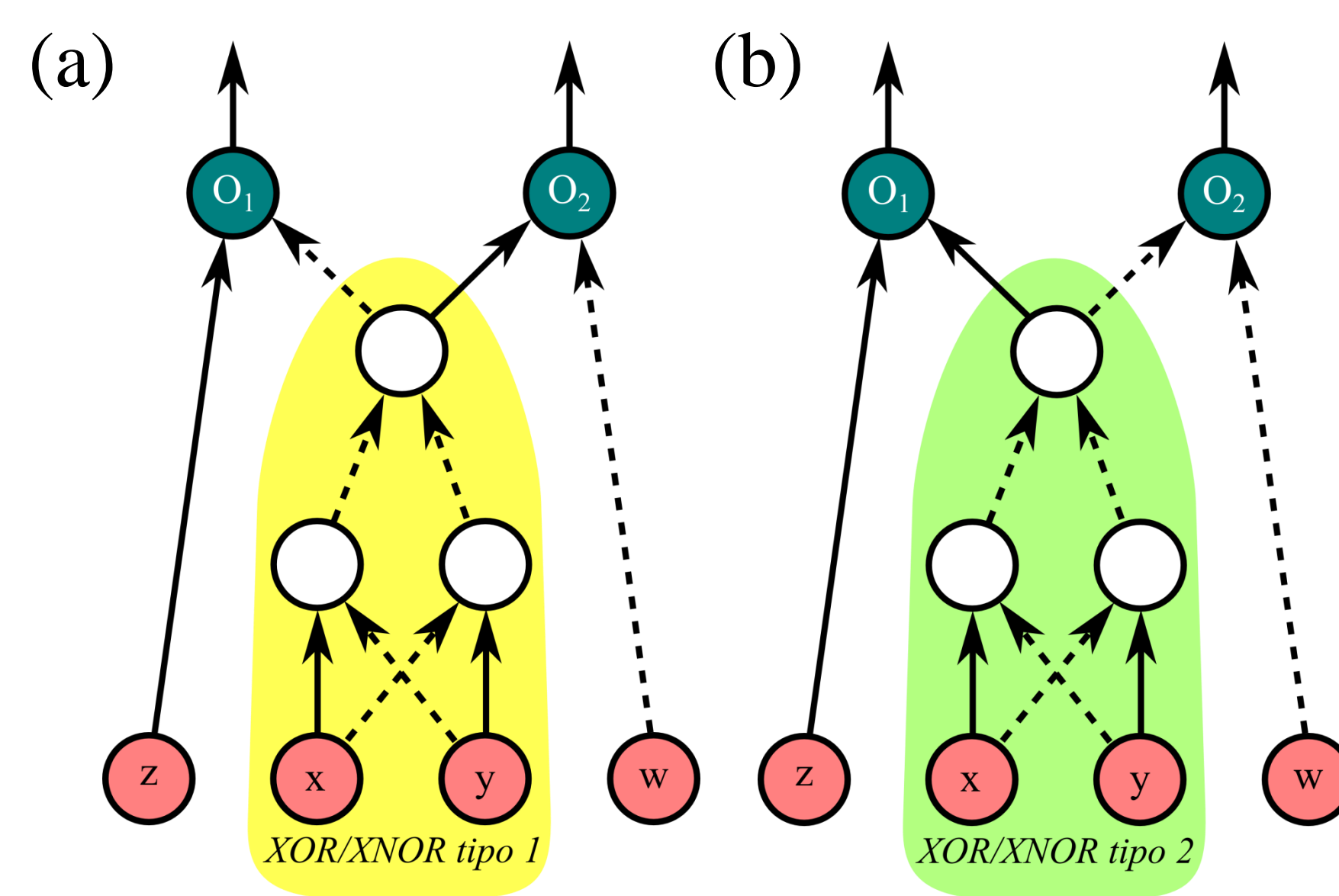
Observando o número de nodos, as representações de AIG para as funções XOR e XNOR têm pelo menos 3 nodos AND2. A Figura 2 ilustra esses AIGs. Note que todos os nodos destacados como XOR/XNOR tipo 2 têm suas entradas com a mesma polaridade. Esse trabalho verifica se o tipo 2 pode gerar melhores implementações usando portas lógicas simples.

### METODOLOGIA DE REESCRITA DE XOR/XNOR

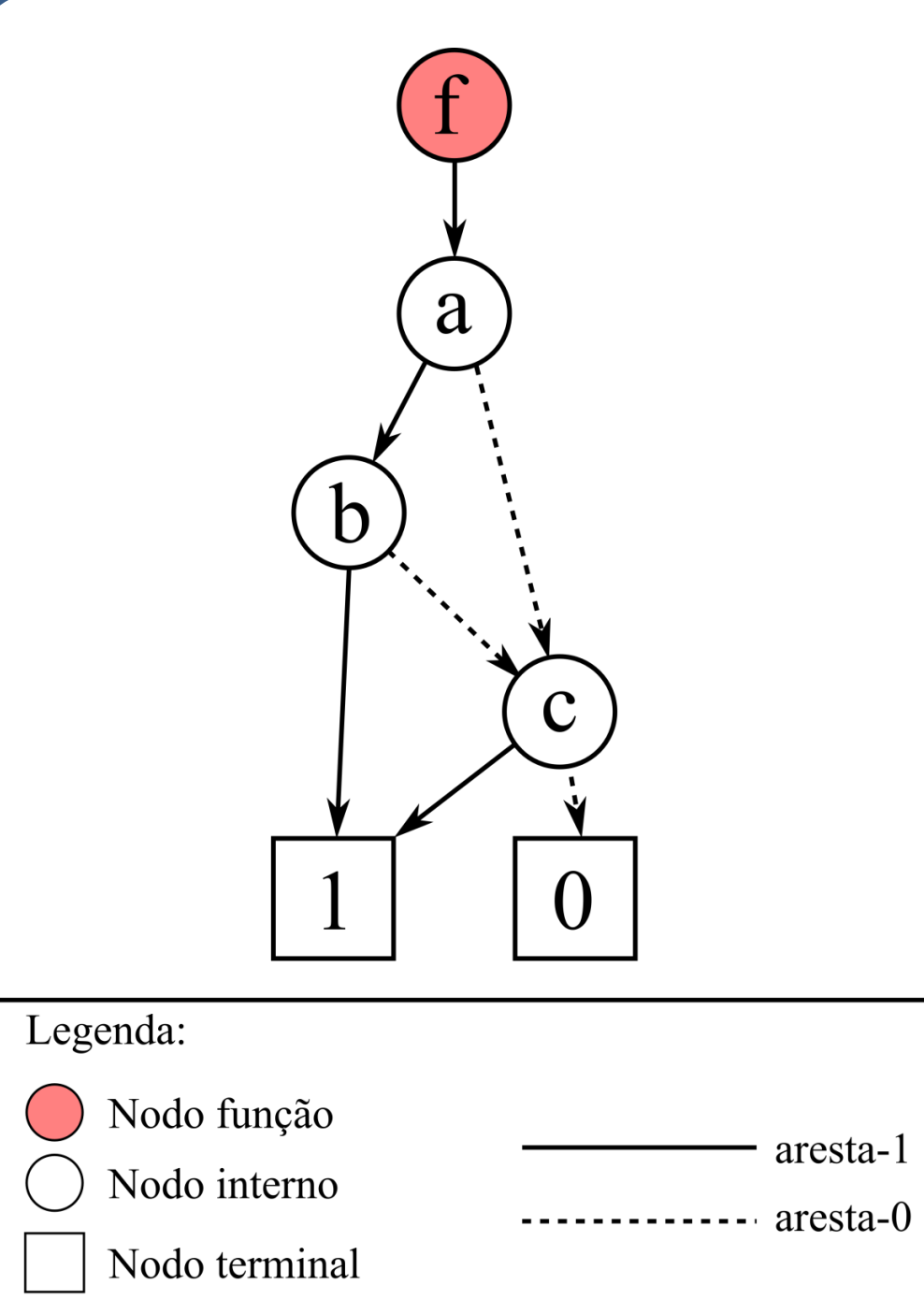
Para substituir XOR/XNOR tipo 1 por XOR/XNOR tipo 2, primeiro, o padrão tipo 1 é procurado no AIG. Então, para cada padrão encontrado, a polaridade das arestas é reorganizada para transformá-lo em no tipo 2. A Figura 3 mostra um exemplo da metodologia proposta.



**Figura 2:** Exemplo de não-canonicidade do AIG: representação de  $F = x \oplus y$  (a) e (b); representação de  $G = \overline{(x \oplus y)}$  (c) e (d).



**Figura 3:** Exemplo de reescrita: AIG contendo XOR/XNOR tipo 1 (a); o resultado depois de aplicar a metodologia proposta (b).



**Figura 4:** Exemplo de BDD representando a função  $f = ab + c$ .

## Verificação de Equivalência usando BDD e SAT

### DIAGRAMA DE DECISÃO BINÁRIA

Um Diagrama de Decisão Binária (BDD) é um grafo representando um conjunto de decisões com valor binário, culminando em uma decisão global que pode ser 1 ou 0 [3]. Uma vez que o BDD Reduzido e Ordenado (ROBDD) é uma estrutura canônica, ele pode ser usado para checar a equivalência de funções booleanas. A figura 4 ilustra o ROBDD representando a função  $f = ab + c$ .

### COMPARANDO AIGs USANDO BDDs

Para checar a equivalência de dois AIGs  $X$  e  $Y$ , é criado um BDD para cada saída de  $X$  e  $Y$ . Dessa forma, é explorada a canonicidade dos BDDs. Se os BDDs gerados são os mesmos para cada saída de  $X$  e sua saída correspondente em  $Y$ , então, os AIGs são equivalentes.

### PROBLEMA DE SATISFATIBILIDADE BOOLEANA

O Problema de Satisfatibilidade Booleana (SAT) [2] é um problema no qual, dado uma função booleana  $f(x_1, \dots, x_n)$ , tenta-se determinar se existe uma combinação de assinalamento dos valores de entrada de  $f$  que avalia a função para 1. Se existe tal combinação, então, a função é chamada de SAT, senão, é chamado de UNSAT.

### COMPARANDO AIGs USANDO SAT

Para checar a equivalência de dois AIGs  $X$  e  $Y$ , é criado um novo AIG  $Z = X \oplus Y$ . Uma formula CNF é derivada de  $Z$  usando a Transformação Tseitin [4] e essa fórmula é usada como entrada de um solucionador SAT [2].  $X$  e  $Y$  são equivalentes se e somente se  $Z$  é UNSAT.

## RESULTADOS

A Tabela 1 apresenta os principais resultados obtidos. A coluna rotulada "#NODOS" apresenta, o número de nodos AND do AIG. "#TIPO 1", "#TIPO 2" representam, respectivamente, o número de transistores de suas implementações utilizando portas lógicas simples antes e depois de aplicar o método proposto. "%" representa a diferença percentual entre as duas implementações apresentadas. "TEMPO" e "MEMÓRIA" apresentam o tempo de execução e uso de memória para comparar ambos os AIGs inicial e final usando BDD e SAT.

**REFERÊNCIAS**  
[1] A. Mishchenko, S. Chatterjee, and R. Brayton. DAG-aware AIG rewriting: a fresh look at combinational logic synthesis. In Proc. of Design Automation Conf. (DAC), 2006.  
[2] N. Eén and N. Sörensson. MiniSat: A SAT solver with conflict-clause minimization. Sat, 5, 2005.  
[3] S. B. Akers. Binary Decision Diagrams. IEEE Trans. on Computer, 27(6):509–516, 1978.  
[4] G. S. Tseitin. On the complexity of derivation in propositional calculus. Studies in constructive mathematics and mathematical logic, 2, 1968.

**Tabela 1:** Análise do número de transistores do método proposto e verificação de equivalência.

CIRCUITO	#NODOS	#TIPO 1	#TIPO 2	%	TEMPO		MEMÓRIA	
					SAT	BDD	SAT	BDD
C432	127	608	608	0,00%	58 ms	29.6 min	94.4 MB	3.7 MB
C499	386	1912	1840	-3,77%	367 ms	> 27 h	99.4 MB	2.3 MB
C880	306	1448	1412	-2,49%	84 ms	1 h	94.4 MB	65.7 MB
C1355	390	1928	1848	-4,15%	777 ms	> 27 h	98.3 MB	2.2 MB
C1908	354	1704	1672	-1,88%	490 ms	25.4 h	98.4 MB	44.1 MB
C2670	534	2546	2466	-3,14%	351 ms	> 27 h	101.3 MB	85.6 MB
C3540	918	4084	4084	0,00%	4 s	> 27 h	110.3 MB	62.3 MB
C5315	1323	6078	6078	0,00%	1.3 s	> 27 h	113.4 MB	8.4 MB
C6288	1870	8776	8662	-1,30%	> 27 h	> 27 h	1.1 GB	2.6 GB
C7552	1377	6580	6520	-0,91%	701 ms	> 27 h	132.4 MB	42.3 MB
i10	1799	8284	8274	-0,12%	1.5 s	> 27 h	128.4 MB	102 MB

### AGRADECIMENTOS

Pesquisa parcialmente financiada por CNPq, FAPERGS sob a concessão 11/2053-9 (Pronem), e o European Community's Seventh Framework Programme sob a concessão 248538 (Synaptic).